

## فعالية القطع القشرى اللاشرحي المنجز بالبليزو في تسريع فك الازدحام التقويمى السنى عند البالغين (دراسة سريرية مضبوطة معنوية)

\* عمر جبريل \* أ.د. ياسر المدلل \*

(الإيداع : 5 تموز 2020 ، القبول: 27 آيلول 2020)

الملخص:

تعتبر مدة المعالجة التقويمية من أهم التحديات التي تواجه المقومين، والتي يمكن أن تكون سبباً لرفض الخصوص للمعالجة. وعلى الرغم من أن هذه الطرق الجراحية أثبتت فعاليتها، إلا أنها تعتبر عوائقاً وقد تواجه برفض المريض بسبب الفرق والخوف من الألم والخصوص للجراحة. لذلك تم تطوير العديد من التقنيات الجراحية - كالقطع القشرى المنجز بالبليزو- بغية إضعاف العظم القشرى لتسريع الحركة التقويمية للأسنان. تقييم فعالية القطع بالبليزو في تسريع حل ازدحام الأسنان الأمامية الشديد. تألفت عينة البحث من 26 مريضاً (12 ذكراً، 14 أنثى) تراوحت أعمارهم بين 18-26 سنة. وزعوا بشكل عشوائي إلى مجموعتين متساويتين، المجموعة أ مجموعة القطع بالبليزو، المجموعة ب مجموعة المعالجات التقليدية. ودرست التغيرات الطارئة على قيمة مشعر ليتل للازدحام السنى باستخدام الأمثلة الجبسية وذلك في أربع فترات زمنية (T0) قبل تطبيق السلك التقويمى البديهى و (T1) بعد شهر من بدء المعالجة و (T2) بعد شهرين و (T3) عند انتهاء مرحلة الرصف والتسوية. اختصر القطع بالبليزو من المدة الزمنية اللازمة لرصف وتسوية الأسنان السفلية مقارنةً مع المعالجة التقليدية ( $P<0.0001$ ). سرع القطع بالبليزو قليل الاجتياحية فك الازدحام التقويمى السنى جوهرياً.

الكلمات المفتاحية: تسريع الحركات التقويمية، القطع بالبليزو، قليل الاجتياحية، الازدحام السنى لدى البالغين.

\* طالب دكتوراه قسم جراحة الوجه والفكين - كلية طب الأسنان - جامعة دمشق .

\* أستاذ - قسم جراحة الوجه والفكين - كلية طب الأسنان - جامعة دمشق .

## Efficacy of Flapless Corticotomy Accomplished by Piezosurgery in Accelerating Orthodontic Decrowding in Adults (Randomized Controlled Trial)

\*Omar Gibreal

\*\*Prof.Dr.Yasser AL-Modalal

(Received: 5 July 2020 , Accepted: 27 September 2020)

### Abstract:

The duration of orthodontic treatment is considered one of the most challenges facing orthodontists, which may be a reason for refusing to undergo the treatment. Although these surgical procedures have proven their effectiveness, they are considered aggressive and may be faced by patient rejection because of the anxiety and fear of pain and due to surgery. Several techniques have been developed, such as Piezocision in attempt to weaken the cortical bone to accelerate orthodontic tooth movement. Evaluate the effectiveness of piezocision in acceleration decrowding of severe anterior mandibular teeth. The Sample consisted of 26 patients (12 male, 14 female) with an age range from 18 to 26 years. They were randomly divided into two equal groups, Group A is piezocision, Group B is conventional orthodontic treatments. Little irregularity index changes were studied using dental cast in four time points before inserting the first archwire (T0), after 1 month of treatment onset (T1), after 2 months (T2), and at the end of the alignment stage (T3). The overall treatment time needed to complete anterior alignment of the dental mandible arch was reduced compared with conventional orthodontic treatment( $P<0.0001$ ). Minimally invasive Piezocision accelerated orthodontic decrowding significantly.

**Keywords:** Orthodontic movement acceleration, Piezocision, minimally invasive, adults` teeth crowding.

---

\*Ph.D. student, Department of oral and maxillofacial surgery, Faculty of Dentistry, Damascus University .

\*\* Professor, Department of oral and maxillofacial surgery, Faculty of Dentistry, Damascus University

**1- مقدمة : Introduction**

يعد الازدحام السنوي واحداً من أكثر أنماط سوء الإطباق شيوعاً (Proffit, Fields et al. 1998)، و هناك طرقتان تقليديتان لمعالجته تقويمياً هما التقويم مع القلع والتقويم دون القلع ، وعادةً ما يُستخدم التقويم مع القلع كعلاج لحالات الازدحام السنوي المتوسط إلى الشديد ، في حين يُستخدم التقويم دون القلع كعلاج لحالات الازدحام البسيط إلى المتوسط، و تُعد فترة المعالجة الطويلة من المساواة الأساسية للمعالجة التقويمية ، و لسوء الحظ فإن العديد من المرضى يتذمرون هذه المعالجة نظراً لطول فترة العلاج (AlGhamdi 2010). من هنا تأتي أهمية إنفاص مدة المعالجة التقويمية لكل من المقومين والممرضى وخاصةً البالغين الذين يريدون إنتهاء معالجتهم في أقصر وقت ممكن لاعتبارات جمالية (Rosvall, Fields et al. 2009) ، حيث أن طول مدة المعالجة التقويمية يزيد من التأثيرات السلبية كامتصاص ذرى الجذور والنخور والانحسارات اللثوية و انخفاض مستوى الصحة الفموية دون المستوى المثالى بسبب صعوبة التطبيق، بالإضافة إلى البقع البيضاء والنخور والانزعاج والألم (Talic 2011). كما أظهرت الدراسات أن (70-95%) من مرضى المعالجة التقليدية يشعرون بألم أثناء المعالجة (Kluemper, Hiser et al. 1996) بينما يوقف (8-30%) منهم معالجته بسبب الألم (Abtahi, Mousavi et al. 2002, Shi, Yang et al. 2013, Nimeri, Kau et al. 2014) بهدف تقليل مدة المعالجات التقويمية تمنت الفئة الجراحية منها بالنتائج السريرية الأكثر استقراراً (Dentalalveolar 2013). تدرج تحت هذه الفئة التداخلات الجراحية كالتشكل العظمي عن طريق التبعيد السنخي السنوي (İşeri, Kişnişci et al. 2005, Al-Ainawi, Al-Mdalal et al. 2016) و التشكل العظمي عن طريق التبعيد الرباطي حول السنوي (Sayın, Bengi et al. 2004) و القطع العظمي (Wilcko and Wilcko 2000, Al-Naoum, Alveolar corticotomy and Liou 2014) و القطع القشرى السنخي (Kim, Park et al. 2009, Murphy, Chandhoke et al. 2014) وبالبضع القشرى (Hajeer et al. 2014) و القطع بالبليزو (Aksakalli, Calik et al. 2015, Alfawal, Hajeer et al. 2016) و القطع بالبليزو (Piezocision 2014) وعلى الرغم من أن القطع القشرى التقليدى المعتمد على رفع الشرائح أثبت فعاليته في تسريع الحركة السنوية ، إلا أنه يعتبر اجتنابياً (عدواني) في طبيعته حيث يتطلب رفع شريحة كاملة الشخانة دهليزية ولسانية أحياناً مع إزالة واسعة للعظم القشرى (Nimeri, Kau et al. 2013) وهذا ما يُفضل من مدى نقل القطع القشرى التقليدى من قبل المرضى والمجتمع السنوى حيث توجه الاهتمام نحو التقنيات المحافظة كالقطع بالبليزو والذي يُصنف بدوره تقنية واحدة في مجال تسريع الحركة السنوية التقويمية (Nimeri, Kau et al. 2013) . لكن ما يؤخذ على هذه التقنية هو محدودية الدليل العلمي حولها حيث ورد في مراجعتين منهجهتين منشورتين حديثاً الحاجة لمزيد من التجارب المضبوطة قبل التوصية بها في الممارسة السريرية (Alfawal, Hajeer et al. 2016, Yi, Xiao et al. 2017).

**2- هدف البحث : Aim of study**

تقييم فعالية القطع القشرى اللاشريحي المنجز بواسطة البليزو في تسريع المعالجة التقويمية لحالات الازدحام السنوي الشديد عند البالغين .

**3- المواد والطرق Materials and Methods :**

**تصميم البحث:** تجربة سريرية مضبوطة معاً من نظام المجموعتين المتوازيتين (Parallel-group RCT) بحيث يكون ذراعاً للمعالجة التقويمية التقليدية والذراع الآخر للتداخل الجديد والذي يهدف لتسريع فك الازدحام التقويمي السنوي بواسطة تطبيق تقنية القطع بالبليزو المرشد بالدليل الجراحي ثلاثي الأبعاد .

عينة البحث: استخدم برنامج Minitab Inc., State College, Pennsylvania, USA Minitab® Version 17 لتقدير حجم العينة وباختيار مستوى دلالة 5% (وهو احتمال حدوث خطأ من النمط الأول) وقوة اختبار 80% (وهو احتمال كشف فرق جوهري عندما يكون هذا الفرق موجوداً بالفعل) وفقاً لأحدث دراسة مشابهة درست فعالية القطع بالبيزو لكن على حالات الإزدحام السنوي الخفيف و المتوسط (Charavet, Lecloux et al. 2019) فإن عدد المرضى المطلوب بكل مجموعة (13) مريضاً وبالتالي العدد الكلي لأفراد العينة : 26 مريضاً.

معايير التضمين:

- مرضى بالغين تراوحت أعمارهم بين (18 - 26 سنة).

- مرضى يعانون من ازدحامٍ سني شديد (<5مم ) في المنطقة الأمامية من الفك السفلي مع عدم انتظامٍ شديدٍ جداً (<9مم حسب مشرع Little للازدحام (Little 1975).

- غياب أية أمراض عامة تعيق مضاد استطباب المعالجة التقويمية والجراحية .

- لا يوجد أي معالجة تقويمية أو جراحية سابقة للمنطقة المستهدفة.

- جميع المرضى لديهم إطباق دائم بالإضافة لعدم وجود فقد في الأسنان الدائمة(عدا الأرحاء الثالثة).

- الصحة الفموية جيدة بالإضافة إلى نسج داعمة سليمة حيث تم الحكم على ذلك من خلال ( Silness and Löe 1964): سير الجيوب اللثوية على ألا يتجاوز عمقها 4 ملم وعدم وجود دليل شعاعي على امتصاص عظمي ومؤشر اللوحة  $\geq 1$  ومؤشر التهاب اللثة (Gingival index  $\geq 1$ ).

معايير الإقصاء:

- المرضى الذين لديهم مضاد استطباب يمنع إجراء الجراحة الفموية تحت التخدير الموضعي (اجتماعي، نفسى، طبى).

- المرضى الذين لديهم حالة صحية عامة تؤثر على الحركة السنوية

- وجود متلازمةٍ أو تشوهاً خلقيًّا وجسمياً سنيةً شديدة، وحالات عدم التمازن الوجهى

- وجود معالجاتٍ تقويمية أو جراحية فموية سابقة للمنطقة المستهدفة.

- المرضى في مرحلة الإطباق المختلط .

- المرضى الذين يعانون من نقصٍ في الصيغة السنوية الدائمة (معداً الأرحاء الثالثة).

- وجود صحة فموية سيئة بالإضافة إلى مرضٍ حول سنٍّ فعال ، حيث تم الحكم على ذلك من خلال ( Silness and Löe 1964 ):

عمق سير الجيوب اللثوية  $> 4$  ملم و وجود دليل شعاعي على امتصاص عظمي و مؤشر اللوحة  $> 1$  وأخيراً مؤشر التهاب اللثة (Gingival index  $> 1$ ).

التخصيص والتوزيع العشوائي للعينة:

اتبعت الطريقة العشوائية البسيطة الحاسوبية باستخدام برنامج Minitab® Version 17 ، حيث تم توليد الأرقام العشوائية ثم فرز المرضى على المجموعتين وأُخفي تسلسل التوزيع (التخصيص) عن الباحث، وبالتالي حصل على 13 مريضاً في كل مجموعة حيث تألفت العينة من مجموعتين رئيسيتين:

**المجموعة الأولى التجريبية (أ):** تضمنت 13 مريضاً (7 إناث و 6 ذكور) طبقت تقنية القطع بالبيزو المرشد بالدليل الجراحي ثلاثي الأبعاد بهدف تسريع فك الإزدحام التقويمي السنوي لديهم،

**والمجموعة الثانية الشاهدة (ب):** تضمنت 13 مريضاً (8 إناث و 5 ذكور) طبقت المعالجة التقويمية التقليدية دون أي تداخل جراح خطوات العمل:

أخذت الموافقة المعلمة من المرضى المقبولين بعد شرح طبيعة البحث لكل فرد منهم. استدعي المرضى بدايةً لوضع مطاط الفصل من شركة (American Orthodontics, Sheboygan, WI USA)، ثم قُلعت الضواحك الأولى في عيادة القلع التابعة لقسم جراحة الوجه والفكين-جامعة دمشق. في الجلسة الثانية نظفت السطوح الدهليزية للأسنان العلوية بوساطة فرشاة مع مسحوق الخفاف، ثم أُصقت حاصرات معدنية بشق 0.022 إنش وصفة MBT من شركة (Resilience, Ortho Technology, Florida, USA)، باستخدام كومبوزيت ضوئي من شركة (Ortho Technology, Florida, USA) مع تأمين العزل التام لساحة العمل باستخدام فاتح الفم ثانوي الجانب من شركة (Ortho Technology, Florida, USA) مع استخدام ماصة لعاب وقطن طبي معقم، وأُصقت الأطواق التقويمية على الأرحايا الأولى العلوية من شركة (TruFit 2.0, Ortho Technology) وذلك باستخدام إسمنت زجاجي شاردي لإلصاق الأطواق التقويمية للأرحايا الأولى العلوية من شركة (Resilience, Ortho Technology, Florida, USA)، مع الاستعانة بعصاة عض من شركة (Ortho Technology, Florida, USA) لتأمين النزول الصحيح والدقيق للأطواق. ثم طُبّق سلك NiTi 0,014 أو 0,012 (حسب شدة الازدحام الموجودة) من شركة (Ortho Technology, Florida, USA) وربط السلك ضمن الحاصرات الأمامية باستخدام أسلاك الربط من نفس الشركة لضمان التشيط المستمر للسلك بين مواعيد المتابعة.

**طريقة العمل على المجموعة التجريبية:**

بعد تطبيق السلك التقويمي الأول أجريت صورةٌ ثنائية الأبعاد بالتصوير الطيفي المحوسب ذو الحزمة المخروطية CBCT . ثم أرسل المثال الجبسي لنفس الفك إلى المختبر حيث عمل مسح ضوئي ثلاثي الأبعاد 3D Scanning للمثال الجبسي ، ثم أدخلت ملفات المسماة Dicom التي حصل عليها من التصوير الشعاعي ثلاثي الأبعاد للمثال الجبسي إلى برنامج التصميم الجراحي. استخدم برنامج Bluesky bio لإجراء تصميم الدليل الجراحي، حيث يقوم البرنامج بمطابقة صورة المثال الجبسي ثلاثية الأبعاد مع الشكل ثلاثي الأبعاد الشعاعي بحيث يتم عمل الدليل الجراحي ضمن بيئه ثلاثة وثنائية الأبعاد في البرنامج الحاسوبي وينتج بالنتهاية تصميم ثلاثي الأبعاد للدليل الجراحي المستخدم. يُطبع الدليل الجراحي على طابعةٍ ثلاثية الأبعاد باستخدام الرizin الخاص نوع (Form2, Formlab, USA). Form2 أخيراً يُجرب الدليل على المثال الجبسي من أجل التأكد من انطباقه ، ثم يُعمق ليصبح جاهزاً للعمل الجراحي.الشكل (1)



**الشكل رقم(1): الدليل الجراحي ثلاثي الأبعاد المستخدم**

طلب من كل مريض المضمضة بغسول فموي من كلورهكسيدين 12.0% لمدة دقيقة قبل إجراء الجراحة مباشرة. نظفت المنطقة الدهليزية وللسانية المحيطية باستخدام شاش مشرب بالكلورهكسيدين، مع تطهير الجلد المحيط بالفم باستخدام محلول بولي فيدرون اليودي. تمت تعطية المريض وساحة العمل الجراحي باستخدام الشادات الجراحية المعقمة والمعدة للاستخدام لمرة واحدة ثم ثُبّنت الجراحة تحت التخدير الموضعي بالارشاح باستخدام حقنة تخدير ماصة دافعة ورأس ابرة قياس 27 غوج ومدر - (Lidocaine HCL 2% - KwangMyungLidocaine, KwangMyung Pharm, Epinerphrine 1:80 000) من شركة (Korea). استخدمت أدوات المعالجة الجراحية التقليدية في المجموعة التجريبية، مثل ملقط قاطع للنَزف، مبعادات، ملقط شادات، ملقط جراحية، مقص كما في الشكل (2).



**الشكل رقم(2): أدوات المعالجة الجراحية التقليدية**

تبدأ الشقوق 4 مم أسفل الحليمات اللثوية بين السنين تجنبًا للانحسار اللثوي باستخدام شفرة 15 بأطوال متباعدة بحسب عرض اللثة الملتصقة لمكان الشق لتجنب آية خياطةٍ لاحقةٍ. ثم تُطبق تقنية القطع بالبيزو Piezoincision دون رفع شريحة أو تطبيق طعمٍ عظيمٍ مستخدمين جهاز Piezosurgical Microsaw (Implant Center™ 2 ,Satelec,France) Ultrasonic frequency (Ultrasonic frequency) : 28-230-100v (supply voltage) ، تردد أمواج فوق صوتية (Ultrasonic frequency) : 36 Khz (Power Consumption) ، وباستطاعة VA 250 وضبط الإرواء ml/m80 حيث اعتمدت إعدادات القطع الموافقة لنوع العظم D2 باستعمال الرأس الخاص بالقطع العظمي BS1. الشكل (3)



الشكل رقم(3): جهاز **Piezosurgical Microsaw** (Implant Center™ 2 ,Satelec,France) والرأس

#### المستخدم BS1

تسمح هذه الشقوق لرؤوس جهاز (PiezosurgicalMicrosaw) بالوصول للعظم السنخي حيث يتم قطع العظم القشرى الدهليزي للسنخ لعمق حوالي 3 مم (يتم تحديد العمق عبر التدرجات على رأس الجهاز المعلم BS1) حتى الوصول ما قبل ذرى الأسنان بقليل دون شمول الصفائح القشرية اللسانية بالقطع. الشكل (5,4)



الشكل رقم (4): الشقوق الجراحية والقطع بالبيزو عبر الدليل الجراحي ثلاثي الأبعاد



الشكل رقم (5): القطوع العظمية بعد إزالة الدليل الجراحي

لا حاجة لإجراء خياطة داخل فموية بل تترك الجروح للشفاء بالمقصد الثاني، بعد تعطية الموقع الجراحي باستخدام قطعة شاش مشربة بالايدوفورم iodoform فوقها لمدة ساعةٍ واحدةٍ بعد الانتهاء من العمل الجراحي.

وُصف صادٌ حيوٍ (Augmentin 1000 mg tab) مرتين في اليوم بدءاً من يوم التداخل الجراحي لجميع المرضى مع التأكيد من عدم وجود أي مضاد استطباب لاستخدام الدواء، كما تُبَهُ المرضى لعدم تناول المسكنات إلا في حال الألم الشديد (Paracetamol 500 mg tab) و توبغ المرضى في كلتي المجموعتين لاستكمال إجراءات الرصف والتسوية باستخدام أسلاك من شركة Ortho Technology, Florida, USA:

\* 0,014 inch NiTi أو 0.012 (حسب مقدار الإزدحام الموجود).

0,016 X 0,022 inch NiTi\*

0,017X 0,025inch NiTi\*

\* 0,019 X 0,025 inch Steel (نهاية مرحلة الرصف والتسوية والتي يتم الوصول إليها عندما يشير مشعر عدم الانظام حسب ليتل إلى 1-0 مم ولم يتجاوز التحسن في الرصف 0.5 مم خلال مواعدين متتاليين للمتابعة التقويمية).

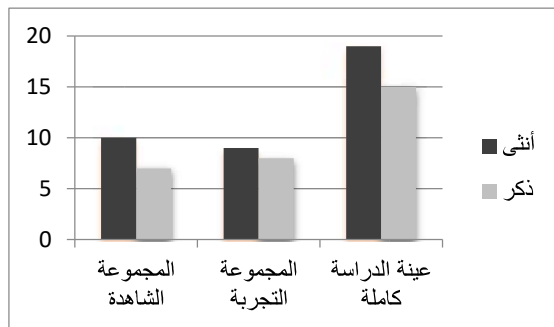
(Little 1975)

**التحليل الإحصائي:**

استخدم برنامج Minitab الإصدار 17.0 لتحليل نتائج البحث. و أعطي المرضى أرقاماً تسلسليّة خاصةً مع إخفاء توزيعهم إلى المجموعتين الرئيسيتين عن الباحث خلال مرحلة التحليل الإحصائي لضمان التعمية (Blinding of statistician) وتجنب الانحياز في التحرى (Detection Bias). كما درس توزع بيانات الاستبيانات باستخدام اختبار Anderson-Darling Normality Test، وتم استخدام تحليل t-test للعينات المستقلة لدراسة دلالة الفروق بين كل زمن من مجموعة البيزو مع نظيره من المجموعة الشاهدة عند مستوى دلالة ( $p=0,05$ ) .

#### 4- النتائج : The Results

يوضح المخطط(1) توزع عينة الدراسة وفقاً لجنس المريض والعينة المدروسة



**المخطط رقم(1): توزع عينة الدراسة وفقاً لجنس المريض والعينة المدروسة**

كما يوضح الجدول (1) الإحصاء الوصفي لقيم مشعر الإزدحام ليتل والفترة الزمنية المستغرقة لحل الإزدحام وفق المجموعة المدروسة:

| الجدول رقم (1): يوضح الإحصاء الوصفي لقيم مشعر الإزدحام ليتل (بالملم) والفترقة الزمنية المستغرقة لحل الإزدحام (بالأيام) وفق المجموعة المدروسة |             |                   |                 |                   |                        |  |
|--|-------------|-------------------|-----------------|-------------------|------------------------|--|
| العدد الأقصى   | الحد الأدنى | الانحراف المعياري | المتوسط الحسابي | المجموعة المدروسة | المتغير المدروس*       |  |
| 13.00  | 10.00       | 0.97              | 11.32           | الشاهدية          | LII T0                 |  |
| 14.00  | 10.00       | 1.19              | 11.57           | التجريبية         |                        |  |
| 10.00  | 6.50        | 1.13              | 8.50            | الشاهدية          | LII T1                 |  |
| 7.50   | 2.00        | 1.65              | 4.12            | التجريبية         |                        |  |
| 7.50   | 3.00        | 1.13              | 5.56            | الشاهدية          | LII T2                 |  |
| 3.00   | 2.50        | 0.35              | 2.75            | التجريبية         |                        |  |
| 0.50   | 0.10        | 0.12              | 0.32            | الشاهدية          | LII T3                 |  |
| 0.40   | 0.10        | 0.10              | 0.24            | التجريبية         |                        |  |
| 254.00   | 96.00       | 38.52             | 131.41          | الشاهدية          | الفترة الزمنية         |  |
| 81.00  | 48.00       | 12.54             | 53.53           | التجريبية         | الإجمالية لحل الإزدحام |  |
| * قيمة مشعر ليتل قبل تطبيق أول سلك تقويمي  |             |                   |                 |                   |                        |  |
| LII T0: قيمة مشعر ليتل بعد شهر   |             |                   |                 |                   |                        |  |
| LII T1: قيمة مشعر ليتل بعد شهرين   |             |                   |                 |                   |                        |  |
| LII T2: قيمة مشعر ليتل عند انتهاء الرصف والتسوية   |             |                   |                 |                   |                        |  |

كما تم استخدام اختبار T ستيدونت للعينات المستقلة لدراسة جوهيرية الفروق في متوسط الزمن اللازم لإنتهاء الرصف والتسوية(بالأيام) بين المجموعتين كما يبين الجدول (2)

| الجدول رقم (2): يوضح نتائج اختبارات الجوهرية الإحصائية للفرق في متوسط الزمن اللازم لإنتهاء الرصف والتسوية(بالأيام) بين مجموعتي الدراسة |               |                                   |            |               |                     |                   |                   |                                     |                                     |                                     |
|--|---------------|-----------------------------------|------------|---------------|---------------------|-------------------|-------------------|-------------------------------------|-------------------------------------|-------------------------------------|
| Significance of differences  | جوهرية الفروق | قيمة الاحتمالية Probability Value | t المحسوبة | قيمة المحسوبة | الفرق بين المتوسطين | الانحراف المعياري | المتوسط الحسابي   | عدد المرضى                          | المجموعة المدروسة                   | المتغير المدروس                     |
| <u>توجد فروق جوهرية إحصائياً</u>   | 0.0001>       | 7.93                              | 73.88      | 38.5          | 131.4               | 13                | المجموعة الشاهدية | الزمن اللازم لإنتهاء الرصف والتسوية | الزمن اللازم لإنتهاء الرصف والتسوية | الزمن اللازم لإنتهاء الرصف والتسوية |
|  |               |                                   |            | 12.5          | 57.5                | 13                | مجموعة التجريبية  |                                     |                                     |                                     |

يلاحظ في الجدول (2) أن الفرق في الزمن المستغرق لإنجاز الرصف والتسوية جوهرياً من الناحية الإحصائية بين المجموعتين حيث كانت قيمة الاحتمالية أصغر بكثير من (0.05) ، حيث نجد أن المتوسط الحسابي للمرة الزمنية المستغرقة لفك الازدحام في مجموعة التجربة كان أقل بأربعة وسبعين يوماً عن مثيله في المجموعة الشاهدة .  
أخيراً استخدم اختبار T ستيودننت للعينات المستقلة لدراسة جوهريه الفروق بين متوسط قيم مشعر ليتل(بالملم) لكل زمنٍ من أزمنة المعالجة بين المجموعتين الجدول (3).

| الجدول رقم (3): يوضح نتائج اختبارات الجوهرية الإحصائية للفروق في متوسط قيم مشعر ليتل(بالملم) لكل زمن من أزمنة المعالجة بين المجموعتين |                                   |               |                     |                   |                 |            |                   |                 |                         |
|---|-----------------------------------|---------------|---------------------|-------------------|-----------------|------------|-------------------|-----------------|-------------------------|
| جوهرية الفروق   | قيمة الاحتمالية Probability Value | قيمة المحسوبة | الفرق بين المتوسطين | الانحراف المعياري | المتوسط الحسابي | عدد المرضى | المجموعة المدرستة | الفترة الزمنية* | المتغير المدروس         |
| <u>لا توحد فروق جوهرية إحصائياً</u>   | 0.511                             | 0.67-         | 0.2470-             | 0.967             | 11.324          | 13         | الشاهدية          | T0              | قيمة مشعر ليتل (بالملم) |
|   |                                   |               |                     | 1.190             | 11.570          | 13         | التجريبية         |                 |                         |
| <u>تحوّل فروق جوهرية إحصائياً</u>   | 0.0001>                           | 9.02          | 4.3820              | 1.130             | 8.500           | 13         | الشاهدية          | T1              | قيمة مشعر ليتل (بالملم) |
|   |                                   |               |                     | 1.650             | 4.120           | 13         | التجريبية         |                 |                         |
| <u>تحوّل فروق جوهرية إحصائياً</u>   | 0.003                             | 3.42          | 2.8090              | 1.130             | 5.560           | 13         | الشاهدية          | T2              | قيمة مشعر ليتل (بالملم) |
|   |                                   |               |                     | 0.354             | 2.750           | 2          | التجريبية         |                 |                         |
| <u>تحوّل فروق جوهرية إحصائياً</u>   | 0.038                             | 2.17          | 0.0824              | 0.120             | 0.324           | 13         | الشاهدية          | T3              | قيمة مشعر ليتل (بالملم) |
|   |                                   |               |                     | 0.100             | 0.241           | 13         | التجريبية         |                 |                         |

\*: زمن تطبيق أول سلك تقويمي  
T1 : بعد مرور شهر من تطبيق الأجهزة التقويمية الثابتة  
T2 : بعد مرور شهرين من تطبيق الأجهزة الثابتة  
T3: زمن إنتهاء الرصف والتسوية.

يلاحظ من الجدول (7) عدم وجود فروق جوهرية من الناحية الإحصائية عند الزمن T0 (زمن تطبيق أول سلك تقويمي) حيث كانت قيمة (P-value = 0.511) أي لا توجد فروق ذات دلالة إحصائية في متوسط قيمة مشعر ليتل عند بدء المعالجة التقويمية بين المجموعتين ، أمّا في الأرمنة (T1,T2,T3) فقد كانت قيمة مستوى الدلالة أصغر من القيمة (0.05) أي توجد فروق ذات دلالة إحصائية في متوسط قيمة مشعر ليتل بعد شهر وشهرين من إدخال السلك التقويمي الأولي وانتهاء الرصف والتسوية، وبالتالي يُستنتج أن القطع بالبيزو قد أنقص قيمة مشعر ليتل بشكل دال إحصائياً بعد شهر واحد واثنين من إدخال السلك التقويمي الأولي وانتهاء الرصف والتسوية مقارنة مع المجموعة الشاهدة

#### 5- المناقشة : Discussion

##### مناقشة هدف البحث :

اعتمد تقنية القطع بالبيزو في هذه الدراسة على اعتبارها من التقنيات قليلة الاجتياحية لتسريع الحركات السننية التقويمية ، حيث تناولت العديد من الأبحاث السريرية هذه التقنيات إلا أن الدليل العلمي حول فعاليتها مازال محدوداً (Alfawal, Hajeer et al. 2016, Yi, Xiao et al. 2017) . وضفت معايير تضمين وإقصاء صارمة لتحديد أية عوامل من شأنها التأثير على معدل الحركة السننية كالصحة الفموية السيئة ، أمراض النسج حول السننية ، امتصاص العظم السنخي ، بعض الأمراض الجهازية ، الاستهلاك المديد لمضادات الالتهاب غير المستEROIDية (Bartzela, Türp et al. 2009, Okamoto, Ohnishi et al. 2009, Knop, Shintcovsk et al. 2011). حصر أفراد العينة ضمن فئة عمرية معينة حيث ظُمن المرضى البالغين فقط في هذه الدراسة بحد أدنى يبلغ (16 عاماً) وذلك لاستبعاد عامل النمو والتغيرات الاستقلالية الحاصلة على مستوى العظم السنخي عند المرضى اليافعين قبل سن البلوغ، والذي قد يعتبر عاملاً مشوشاً عند دراسة معدل الحركة السننية.(Mavreas and Athanasiou 2008)

##### مناقشة نتائج البحث :

أظهرت نتائج هذه الدراسة فعالية القطع القشرى بالبيزو قليل الاجتياحية في إنقاذه الزمن اللازم لحل الإزدحام الشديد للقواطع السفلية ، حيث استغرقت مرحلة الرصف والتسوية ( $12.54 \pm 57.53$ ) يوماً في مجموعة القطع بالبيزو مقارنة مع ( $38.52 \pm 131.41$ ) يوماً في المجموعة الشاهدة يمكن أن تعزى هذه الفعالية إلى تحفيز ظاهرة التسريع المنطقي (RAP) الحاصلة بعد الرَّضَن الجراحي وإلى تخفيف المقاومة الميكانيكية التي يبديها العظم القشرى لحركة الأسنان نتيجة إضعافه بالقطع القشرى (Frost 1983, Wilcko and Wilcko 2000) كما أن إجراء أدية رضية للعظم خلال العمل الجراحي من شأنه أن يحفز إفراز وسائل التهابية وزيادة المستويون الكاسرات العظم وبالتالي تسريع امتصاص العظم وتسريع معدل الحركة السننية (Teixeira, Khoo et al. 2010, Baloul, Gerstenfeld et al. 2011, Alikhani, Raptis et al. 2013, Alikhani, Alansari et al. 2015 مع كل من (Mxol 2016)(Charavet, Lecloux et al. 2016) من حيث أن القطع بالبيزو سرع جوهرياً فك الإزدحام السنوي مقارنةً مع التقنية التقليدية، لكن كانت هناك فروق بسيطة في مقدار التسريع الحاصل بين الدراسة الحالية والدراستين السابقتين. حيث وجد مخول فعالية القطع بالبيزو في اختصار زمن المعالجة التقويمية بمقدار (45.12%) في الفك العلوي و (38%) في الفك السفلي بينما بلغت هذه النسبة عند Charavet (43%) في كلا الفكين، يمكن تفسير هذا التباين البسيط باختلاف تقنية العمل الجراحي المتبعة من قبل الباحثة و مخول حيث أن مخول اتبع تقنية التنفيق دون

تطبيق طعوم عظمية وقام بخياطة أماكن التتفيق كما أضاف قطعاً أفقياً ذررياً يصل بين القطوع العمودية ، لذلك كانت نتيجة الدراسة الحالية أقرب لنتائج Charavet كون التقنية مشابهة مع الاختلاف في طريقة التقييم حيث لم تعتمد الأخيرة على مشعر ليتل في تقييم مقدار الازدحام كما أن الباحثة قيّمت المدة الزمنية الكاملة للمعالجة التقويمية لحين إزالة الأجهزة التقويمية الثابتة والتي قد تختلف بين مريض و آخر وفقاً لمتطلبات المعالجة الخاصة بكل مريض.

واختلفت نتائج هذه الدراسة مع (Mehr 2013) والتي درست فعالية القطع بالبيزو في فك ازدحام المنطقة الأمامية من الفك السفلي في حالات الازدحام الخفيف والمتوسط الاقاعي حيث لم تجد فروقاً دالةً احصائياً بين المجموعتين التجريبية والشاهدية من حيث التسريع. يمكن أن يُعزى ذلك لاختلاف التقنية الحراحية حيث طبقت الباحثة 3 قطوع فقط (قطعين بين الأنابيب والرابعة في كل جهة ، و قطع بين الشايا) مقارنةً مع 5 قطوع في الدراسة الحالية كما بلغ عمق القطوع القشرية في دراسة Mehr 1 ملم فقط مقارنة مع 3 ملم في الدراسة الحالية، بالإضافة إلى الاختلاف بعينة الدراسة حيث اعتمدت دراستنا على الازدحام الشديد الذي يتطلب قلع وحدات سنية مقارنة بالازدحام الخفيف إلى المتوسط المستهدف في دراسة Mehr.

#### **6- الاستنتاجات والتوصيات : Conclusions and recommendations**

اختصرت تقنية القطع بالبيزو المرشد بالدليل الجراحي ثلاثة الأبعاد من المدة الزمنية الازمة لفك الازدحام التقويمي السني لفك السفلي جوهرياً مقارنةً مع المعالجة التقويمية التقليدية.

لذلك يُنصح بتطبيقه من قبل أطباء التقويم لتحقيق الغاية المنشودة من العمل التقويمي المسرع دون حدوث مضاعفاتٍ تذكر.

#### **7-المراجع :**

1. Abtahi, S. M., S. A. Mousavi, H. Shafaee and B. Tanbakuchi (2013). "Effect of low-level laser therapy on dental pain induced by separator force in orthodontic treatment." *Dental research journal* **10**(5): 647.
2. Aksakalli, S., B. Calik, B. Kara and S. Ezirganli (2015). "Accelerated tooth movement with piezocision and its periodontal-transversal effects in patients with Class II malocclusion." *The Angle Orthodontist* **86**(1): 59–65.
3. Al-Ainawi, K., Y. Al-Mdalal and M. Hajeer (2016). "The Effect of Using a Modified Dentoalveolar Distractor on Canine Angulation following Rapid Canine Retraction: A Split-mouth Design Randomized Controlled Trial." *The journal of contemporary dental practice* **17**(1): 49–57.
4. Al-Naoum, F., M. Y. Hajeer and A. Al-Jundi (2014). "Does alveolar corticotomy accelerate orthodontic tooth movement when retracting upper canines? A split-mouth design randomized controlled trial." *Journal of Oral and Maxillofacial Surgery* **72**(10): 1880–1889.
5. Alfawal, A. M., M. Y. Hajeer, M. A. Ajaj, O. Hamadah and B. Brad (2016). "Effectiveness of minimally invasive surgical procedures in the acceleration of tooth movement: a systematic review and meta-analysis." *Progress in orthodontics* **17**(1): 33.

6. AlGhamdi, A. S. T. (2010). "Corticotomy facilitated orthodontics: Review of a technique." *The Saudi Dental Journal* **22**(1): 1–5.
7. Alikhani, M., S. Alansari, C. Sangsuwon, M. Alikhani, M. Y. Chou, B. Alyami, J. M. Nervina and C. C. Teixeira (2015). "Micro-osteoperforations: Minimally invasive accelerated tooth movement." *Seminars in Orthodontics* **21**(3): 162–169.
8. Alikhani, M., M. Raptis, B. Zoldan, C. Sangsuwon, Y. B. Lee, B. Alyami, C. Corpodian, L. M. Barrera, S. Alansari, E. Khoo and C. Teixeira (2013). "Effect of micro-osteoperforations on the rate of tooth movement." *Am J Orthod Dentofacial Orthop* **144**(5): 639–648.
9. Baloul, S. S., L. C. Gerstenfeld, E. F. Morgan, R. S. Carvalho, T. E. Van Dyke and A. Kantarci (2011). "Mechanism of action and morphologic changes in the alveolar bone in response to selective alveolar decortication–facilitated tooth movement." *Am J Orthod Dentofacial Orthop* **139**(4 Suppl): S83–101.
10. Bartzela, T., J. C. Türp, E. Motschall and J. C. Maltha (2009). "Medication effects on the rate of orthodontic tooth movement: a systematic literature review." *American Journal of Orthodontics and Dentofacial Orthopedics* **135**(1): 16–26.
11. Charavet, C., G. Lecloux, A. Bruwier, E. Rompen, N. Maes, M. Limme and F. Lambert (2016). "Localized Piezoelectric Alveolar Decortication for Orthodontic Treatment in Adults: A Randomized Controlled Trial." *J Dent Res*.
12. Charavet, C., G. Lecloux, N. Jackers, A. Albert and F. Lambert (2019). "Piezcision-assisted orthodontic treatment using CAD/CAM customized orthodontic appliances: a randomized controlled trial in adults." *European Journal of Orthodontics* **41**(5): 495–501.
13. Frost, H. M. (1983). "The regional acceleratory phenomenon: a review." *Henry Ford Hosp Med J* **31**(1): 3–9.
14. İşeri, H., R. Kişiçi, N. Bzizi and H. Tüz (2005). "Rapid canine retraction and orthodontic treatment with dentoalveolar distraction osteogenesis." *American Journal of Orthodontics and Dentofacial Orthopedics* **127**(5): 533–541.
15. Kim, S.-J., Y.-G. Park and S.-G. Kang (2009). "Effects of corticision on paradental remodeling in orthodontic tooth movement." *The Angle Orthodontist* **79**(2): 284–291.
16. Kluemper, G. T., D. G. Hiser, M. K. Rayens and M. J. Jay (2002). "Efficacy of a wax containing benzocaine in the relief of oral mucosal pain caused by orthodontic appliances." *American journal of orthodontics and dentofacial orthopedics*.365–359 : (4)122

17. Knop, L. A. H., R. L. Shintcovsk, L. B. Retamoso, J. S. Ribeiro and O. M. Tanaka (2011). "Non-steroidal and steroid anti-inflammatory use in the context of orthodontic movement." *The European Journal of Orthodontics* **34**(5): 531–535.
18. Little, R. M. (1975). "The irregularity index: a quantitative score of mandibular anterior alignment." *Am J Orthod* **68**(5): 554–563.
19. Mavreas, D. and A. E. Athanasiou (2008). "Factors affecting the duration of orthodontic treatment: a systematic review." *Eur J Orthod* **30**(4): 386–395.
20. Mehr, R. (2013). *Efficiency of Piezotome–Corticision Assisted Orthodontics in Alleviating Mandibular Anterior Crowding – A Randomized Controlled Clinical trial*. Master's Theses, University of Connecticut of Medicine and Dentistry.
21. Murphy, C. A., T. Chandhoke, Z. Kalajzic, R. Flynn, A. Utreja, S. Wadhwa, R. Nanda and F. Uribe (2014). "Effect of corticision and different force magnitudes on orthodontic tooth movement in a rat model." *American Journal of Orthodontics and Dentofacial Orthopedics* **146**(1): 55–66.
22. Nimeri, G., C. H. Kau, N. S. Abou-Kheir and R. Corona (2013). "Acceleration of tooth movement during orthodontic treatment—a frontier in orthodontics." *Progress in orthodontics* **14**(1): 42.
23. Okamoto, A., T. Ohnishi, K. Bandow, K. Kakimoto, N. Chiba, A. Maeda, T. Fukunaga, S. Miyawaki and T. Matsuguchi (2009). "Reduction of orthodontic tooth movement by experimentally induced periodontal inflammation in mice." *European journal of oral sciences* **117**(3): 238–247.
24. Proffit, W., J. H. Fields and L. Moray (1998). "Prevalence of malocclusion and orthodontic treatment need in the United States: estimates from the NHANES III survey." *The International journal of adult orthodontics and orthognathic surgery* **13**(2): 97–106.
25. Rosvall, M. D., H. W. Fields, J. Ziuchkovski, S. F. Rosenstiel and W. M. Johnston (2009). "Attractiveness, acceptability, and value of orthodontic appliances." *American Journal of Orthodontics and Dentofacial Orthopedics* **135**(3): 276. e271–276. e212.
26. Sayın, S., A. O. Bengi, A. U .Gürton and K. Ortakoğlu (2004). "Rapid canine distalization using distraction of the periodontal ligament: a preliminary clinical validation of the original technique." *The Angle Orthodontist* **74**(3): 304–315.
27. Scheurer, P. A., A. R. Firestone and W. B. Bürgin (1996). "Perception of pain as a result of orthodontic treatment with fixed appliances." *The European Journal of Orthodontics* **18**(1): 349–357.

28. Shi, Q., S. Yang, F. Jia and J. Xu (2015). "Does low level laser therapy relieve the pain caused by the placement of the orthodontic separators?----a meta-analysis." Head & face medicine **11**(1): 28.
  29. Silness, J. and H. Löe (1964). "Periodontal disease in pregnancy II. Correlation between oral hygiene and periodontal condition." Acta odontologica scandinavica **22**(1.135–121 :)
  30. Talic, N. F. (2011). "Adverse effects of orthodontic treatment: a clinical perspective." The Saudi dental journal **23**(2): 55–59.
  31. Teixeira, C. C., E. Khoo, J. Tran, I. Chartres, Y. Liu, L. M. Thant, I. Khabensky, L. P. Gart, G. Cisneros and M. Alikhani (2010). "Cytokine expression and accelerated tooth movement." J Dent Res **89**(10): 1135–1141.
  32. Teng, G. Y. and E. J. Liou (2014). "Interdental osteotomies induce regional acceleratory phenomenon and accelerate orthodontic tooth movement." Journal of Oral and Maxillofacial Surgery **72**(1): 19–29.
  33. Wilcko, M. T. and W. M. Wilcko (2000). Orthodontic method and device, Google Patents.
  34. Yi, J., J. Xiao, Y. Li, X. Li and Z. Zhao (2017). "Efficacy of piezocision on accelerating orthodontic tooth movement: A systematic review." The Angle Orthodontist.
35. مخول، ف. (2016). المعدلة في تسريع المعالجة التقويمية Piezocision فعالية الجراحة وفق (دراسة سريرية وشعاعية مقارنة ) لحالات الإزدحام السنان عند البالغين أطروحة ماجستير، جامعة دمشق.